

# Vstupní zesilovače pro přijímače optoelektronických systémů

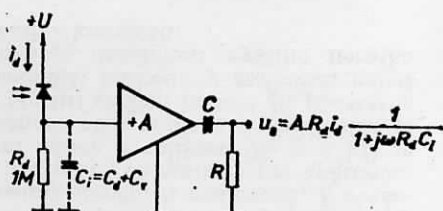
ING. PAVEL MACURA

## Úvod

V současných optoelektronických systémech pro přenos informace na kratší vzdálenost se jako detektor infračerveného světla používá křemíková fotodioda typu PIN. Spínací časy fotodiody PIN jsou velmi krátké, řádově 1 ns. Proudový signál, dodávaný fotodiodou, je však malý (asi 0,5  $\mu\text{A}$  na 1  $\mu\text{W}$  optického výkonu) a je potřeba jej před dalším zpracováním převést na signál napěťový a zesilit. Šířka pásmu přijímače optoelektronického systému je potom závislá na vlastnostech vstupního zesilovače a způsobu navázání fotodiody na vstup zesilovače. V praxi se používají tři způsoby zapojení vstupního zesilovače: vysokoimpedanční, středoimpedanční a převodník proud—napětí.

## Vysokoimpedanční zesilovač

Fotodioda PIN polarizovaná v závěrném směru je připojena na zatěžovací



Obr. 1. Principiální schéma vysokoimpedančního zesilovače; hodnotu  $u_o$  znásobte  $j\omega R_d/(1 + j\omega R_d C_v)$

odpor  $R_d$  o hodnotě řádově 1 M $\Omega$  (obr. 1). Úbytek napětí na zatěžovacím odporu je snímán zesilovačem v neinvertujícím zapojení s velkým vstupním odporem. Horní mezní kmitočet  $f_H$  takového obvodu je určen převážně časovou konstantou na vstupu zesilovače a platí pro něj vztah

$$f_H = \frac{1}{2\pi R_d C_v} = \frac{1}{2\pi R_d (C_d + C_v)}, \quad (1)$$

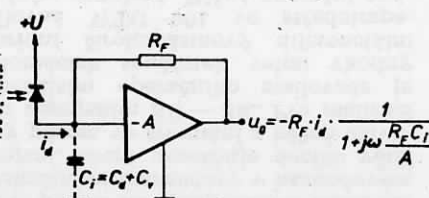
kde  $R_d$  je zatěžovací odpor fotodiody,  $C_d$  kapacita fotodiody,  $C_v$  vstupní kapacita zesilovače.

Jelikož časová konstanta  $\tau = R_d(C_d + C_v)$  je dlouhá (řádově 10  $\mu\text{s}$ ) a projevuje se tak integrační účinek obvodu, pripojuje se na výstup zesilovače derivační článek  $RC$ . Nevýhodou tohoto zapojení je nebezpečí zahlcení zesilovače při nízkých kmitočtech, kdy amplituda signálu na vstupu je velká. Zapojení je proto možné použít jen při známé přenosové rychlosti a kódů přenášeného signálu [1].

## Převodník proud—napětí

Toto zapojení se v literatuře často označuje jako „transimpedanční zesilovač“. Principiální schéma transimpe-

dančního zesilovače je uvedeno na obr. 2. Zapojení se vyznačuje velmi malým vstupním odporem, což však platí pouze v určitém kmitočtovém pásmu, kde zesílení  $A$  je dostatečně velké. Výstupní napětí transimpedančního zesilovače je úměrné velikosti zpětnovazebního odpisu  $R_F$  a proudu fotodiody  $i_d$ .



Obr. 2. Principiální schéma transimpedančního zesilovače

Za předpokladu, že vstupní odpor zesilovače  $R_i$  je mnohem větší než zpětnovazební odpor  $R_F$  a zesílení  $A$  je mnohem větší než jedna, platí pro efektivní vstupní odpor  $R_E$  obvodu vztah

$$R_E = \frac{R_F}{A}, \quad A \gg 1, R_F \ll R_i \quad (2)$$

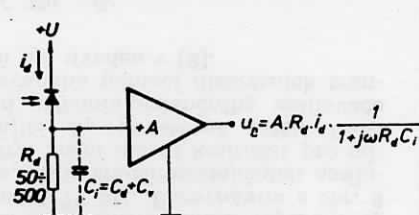
a pro horní mezní kmitočet  $f_H$

$$f_H = \frac{1}{2\pi R_E C_1} = \frac{A}{2\pi R_F (C_d + C_v)}. \quad (3)$$

Uvedené zapojení je vhodné pro konstrukci zesilovačů se šířkou pásmu řádově 10 MHz. U tohoto obvodu však mohou nastat problémy se stabilitou, která je značně závislá na kmitočtovém průběhu zesílení otevřené smyčky zesilovače.

## Středoimpedanční zesilovač

Jelikož u transimpedančního zesilovače vznikají při velké šířce pásmu problémy se stabilitou, používá se pro vysoké přenosové rychlosti středoimpedančního zesilovače (obr. 3). Fotodioda pracuje do poměrně malého zatěžovacího odpisu (50–500  $\Omega$ ), takže časová konstanta na vstupu zesilovače je krátká (řádově 1–10 ns). Úbytek napětí na zatěžovacím odporu je zesílen širokopás-

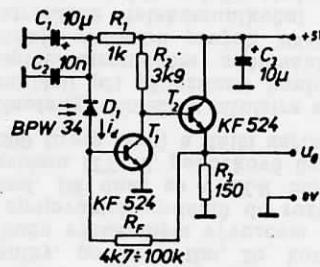


Obr. 3. Principiální schéma středoimpedančního zesilovače

movým zesilovačem v neinvertujícím zapojení. Pro horní mezní kmitočet  $f_H$  platí opět vztah (1), může však být ovlivněn i šířkou pásmu použitého zesilovače. Zapojení se vyznačuje dobrou vstabilitou.

## Příklady realizací vstupních zesilovačů a jejich vlastnosti

V systémech určených pro přenos logických signálů je vhodné, aby zesilovač vystačil s jediným napájecím napětím +5 V. V tomto případě přichází v úvahu obvodové řešení s použitím diskrétních tranzistorů, se kterými lze poměrně jednoduše realizovat zapojení typu převodník proud—napětí. Nejjednodušší zapojení tohoto typu je uvedeno na obr. 4. Tranzistor  $T_1$  pracuje se společným emitorem (SE), tranzistor  $T_2$  se společným kolektorem (SK). Z výstupu zesilovače (emitor  $T_2$ ) je zavedena silná záporná zpětná vazba do vstupu (báze  $T_1$ ), která zesilovači zajišťuje malý vstupní odpor, takže téměř všechn fotoproud  $i_d$  prochází zpětnovazebním odporem  $R_F$ . Je použita fotodioda PIN typu SIEMENS BPW 34, která má maximum spektrální citlivost na vlnové délce 850 nm a kapacitu  $C_d = 20 \text{ pF}$  při napětí v závěrném směru  $U_{KA} = 5 \text{ V}$ .



Obr. 4. Transimpedanční zesilovač v zapojení SE-SK

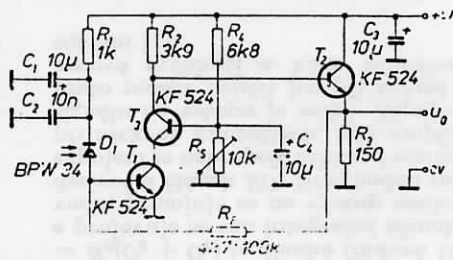
Tabulka 1. Závislost doby náběhu  $t_r$  a horního mezního kmitočtu  $f_H$  na zpětnovazebním odporu  $R_F$  pro transimpedanční zesilovač v zapojení SE-SK podle obr. 4

$R_F [\text{k}\Omega]$	$t_r [\text{ns}]$	$f_H [\text{MHz}]$
4,7	27	13
10	55	6,4
22	120	2,9
47	270	1,3
100	550	0,64

V tab. 1 je uvedena závislost horního mezního kmitočtu  $f_H$  a doby náběhu přechodné charakteristiky  $t_r$  (z 10 % na 90 %) na velikost zpětnovazebního odpisu  $R_F$  pro zesilovač podle obr. 4. Je vidět, že při použití zpětnovazebního odpisu o hodnotě asi 5 k $\Omega$  je zesilovač rychlý s horním mezním kmitočtem větším než 10 MHz. S rostoucí hodnotou zpětnovazebního odpisu mezní kmitočet rychle klesá, což je způsobeno kapacitou  $C_{CB}$  tranzistoru  $T_1$ .

Vylepšit vlastnosti zapojení v horním pásmu kmitočtů je možné použitím kaskadového ovače (obr. 5), kdy mezi stupně se společným emitorem ( $T_1$ ) a společným kolektorem ( $T_2$ ) se zařadí

stupeň se společnou bází ( $T_3$ ), čímž se podstatně sníží vliv kapacity  $C_{CB}$  tranzistoru  $T_1$  na horní mezní kmitočet zesilovače. Závislost horního mezního kmitočtu  $f_H$  a doby náběhu  $t_r$  na zpětnovazebním odporu  $R_F$  pro kaskodový zesilovač podle obr. 5 je uvedena v tab. 2.

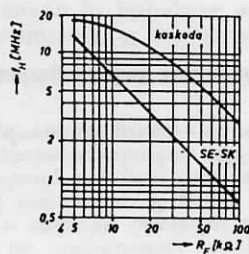


Obr. 5. Transimpedanční zesilovač v kaskodovém zapojení

Tabulka 2. Závislost doby náběhu  $t_r$  a horního mezního kmitočtu  $f_H$  na zpětnovazebním odporu  $R_F$  pro transimpedanční zesilovač v kaskodovém zapojení podle obr. 5.

$R_F [\text{k}\Omega]$	$t_r [\text{ns}]$	$f_H [\text{MHz}]$
4,7	20	17,5
10	25	14
22	35	10
47	60	5,8
100	130	2,7

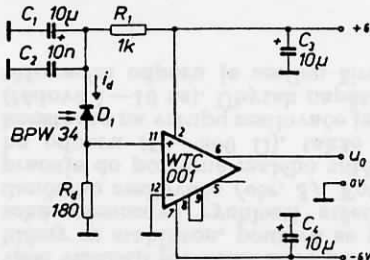
Na obr. 6 je pro srovnání uvedena závislost  $f_H$  na  $R_F$  pro oba popsané typy transimpedančních zesilovačů. Z obrázku je zřejmé, že zatímc pro zpětnovazební odpor o velikosti  $R_F = 5 \text{ k}\Omega$  se vlastnosti obou zesilovačů příliš nelší, je při použití větších hodnot  $R_F$  podstatně výhodnější kaskodový zesilovač, neboť umožňuje dosáhnout vyššího horního mezního kmitočtu.



Obr. 6. Průběh horního mezního kmitočtu  $f_H$  v závislosti na zpětnovazebním odporu  $R_F$  pro transimpedanční zesilovače v zapojení SE-SK a v kaskodovém zapojení

Pokud máme k dispozici souměrné napájecí napětí, je možné místo obvodového řešení s diskrétními tranzistory použít operační zesilovač. Jako velmi vhodný typ pro konstrukci středoimpedančního zesilovače se ukazuje širokopásmový hybridní diferenciální zesilovač WTC 001, který je funkčním analogem obvodu FAIRCHILD  $\mu\text{A} 733$ . Zapojení vstupního zesilovače optoelektronického systému s obvodem WTC 001

je uvedeno na obr. 7. Fotodioda pracuje do zatěžovacího odporu o hodnotě  $180 \Omega$ , zesilovač WTC 001 je zapojen pro zesílení 400 (spojeny vývody č. 8 a 9). Horní mezní kmitočet zapojení podle obr. 7 je 8 MHz. Velikost signálu na výstupu odpovídá transimpedančnímu zesilovači se zpětnovazebním odporem  $R_F$  o hodnotě  $72 \text{ k}\Omega$ . Porovnáním s obr. 6 vidíme, že u transimpedančních zesilovačů byl horní mezní kmitočet pro odpovídající  $R_F$  podstatně nižší. Další příklad středoimpedančního zesilovače realizovaného pomocí diskrétních tranzistorů byl uveden v [2].



Obr. 7. Středoimpedanční zesilovač s hybridním obvodem WTC 001

Při menších náročích na šířku pásma vstupního zesilovače je možné použít běžné operační nebo hybridní zesilovače v transimpedančním zapojení. V úvahu přichází např. typy MAA 741, MAA 748, MAC 156, MAB 356, WSH 111, WSH 115 atd. S těmito zesilovači je možné docílit šířky pásma rádiové  $10 \text{ kHz} - 1 \text{ MHz}$  podle typu použitého operačního zesilovače.

## Závěr

V článku byly popsány tři základní způsoby zapojení vstupních zesilovačů pro přijímače optoelektronických systémů. Byla realizována zapojení typu převodník proud—napětí a středoimpedanční zesilovač. Tyto zesilovače byly buzeny z optoelektronického vysílače, kde jako vysílací prvek byla použita galliumarzenidová luminiscenční dioda typu CQY 11 C (PHILIPS), která má maximum světelné emise na vlnové délce 880 nm.

Máme-li k dispozici pouze jediné napájecí napětí  $+5 \text{ V}$ , ukazuje se jako výhodné použít transimpedanční zesilovač s diskrétními tranzistory v kaskodovém zapojení, které umožňuje docílit větší šířky pásma ve srovnání s běžně užívaným zapojením SE—SK. Pro realizaci s použitím operačního zesilovače je z domácích součástek velmi vhodný hybridní širokopásmový diferenciální zesilovač WTC 001 ve středoimpedančním zapojení. Běžné operační zesilovače je možné použít jen při nevelkých náročích na šířku pásma.

Poznátky, uvedené v článku, je možné uplatnit při konstrukci přijímačů optoelektronických systémů pro přenos jak analogových, tak číslicových signálů.

## LITERATURA

- [1] Ludolf, W. S.: Elektronische Systemkomponenten: Vorverstärker für optische Empfänger. Technisches Messen 50, 1983, č. 3, s. 111–115.
- [2] Macura, P.: Optoelektronický přenosový systém s impulsovou šířkovou modulací. Sdělovací technika 32, 1984, č. 6, s. 207–208.

## EXPO COMM '86 V PEKINGU

Vysokou úroveň mají v poslední době průmyslové výstavy a veletrhy pořádané v ČLR. Nehledě na stoupající úroveň čínské průmyslové výroby jsou na těchto expozičních zastoupeny přední světové firmy a výrobci příslušných oborů. Důvodem je především velký rosah čínských průmyslových investic a rychlé tempo rozvoje. Dokladem byla rovněž říjnová výstava telekomunikační techniky EXPO COMM '86 Peking.

Expozice a konference pořádané pod záštitou čínského výboru pro mezinárodní obchod (CCPTI), ministerstva spojů, ministerstva elektrotechnického průmyslu a Čínské společnosti pro export a import elektroniky (CEIEC) se zúčastnili prakticky všichni velcí světoví výrobci telekomunikační techniky.

Čínský ministr spojů Yang Taifeng informoval již v roce 1984 o programu rozvoje čínských spojů, který předpokládá vrátit počtu telefonních stanic z dnešních 5 mil. na 10 mil. na roce 1990 (I. etapa) a 33 mil. v roce 2000 (II. etapa) a odpovídající posílení infrastruktury.

V rámci tohoto projektu bude do roku 1990 rovněž zvýšen o 60 000 počet digitálních připojek, položeno celkem 4000 km jednomodových optických kabelů a vybudováno 20 dalších pozemních stanic pro kosmické spoje. V řadě provincií se diskutuje o možnosti vybudování pozemní radiotelefonní sítě pro mobilní účastníky. Přesto, že v důsledku „politiky otevřených dveří“ představuje dnes ČLR prakticky největší světový trh pro výrobce telekomunikační techniky, počítá s tím, že koncem 90. let bude významným vývozem digitálních spojovacích systémů do rozvojových zemí. Již dnes se v ČLR montují části Systému ITT 12, pobočkové ústředny SX 200 firmy Mitel a další zařízení.

Zhu Gaofeng, náměstek ministra spojů ČLR, prohlásil při příležitosti konference o optoelektronickém sdělování, že ČLR plánuje výstavbu prvních 2000 km optoelektronické telekomunikační sítě. V první etapě má být položen jednomodový kabel pro vlnovou délku 1300 nm z průmyslového centra Nankin podél řeky Jangce do města Wuhum, kde je situován jeden ze dvou čínských závodů na výrobu jednomodových telekomunikačních optických vláken.

V současné době je v ČLR v provozu více než 50 optoelektronických spojovacích systémů na krátké a střední vzdálenost všechny začleněné do velkoměstských spojovacích sítí, které pracují na vlnové délce 850 mm. Jsou to např. Peking, Fuzhou, Kanton, Wuhan, Šanghaj a Xiamen. ČLR předpokládá, že většina kabelů bude vyrobena ve zmíněných dvou čínských závodech Wuhan a Guilin, jejichž společná výrobní kapacita se pochybuje kolem 20 000 km/rok. Koncová telekomunikační zařízení budou dodána firmou Siemens a Ericsson. Výstavby této sítě se zúčastní více než 180 specialistů z Austrálie, Velké Británie, ČLR, NSR, Francie, Japonska, SSSR a USA. Dále má trasa pokračovat na sever, podél hlavní železniční trati do Pekingu. Po dokončení této trasy bude navazovat výstavba další větve v délce 1600 km mezi městy Wuhum a Kanton.

Ing. Oldřich Zapletal